



**Alunos:** Luisa Helena Bartocci Liboni  
Rodrigo de Toledo Caropreso

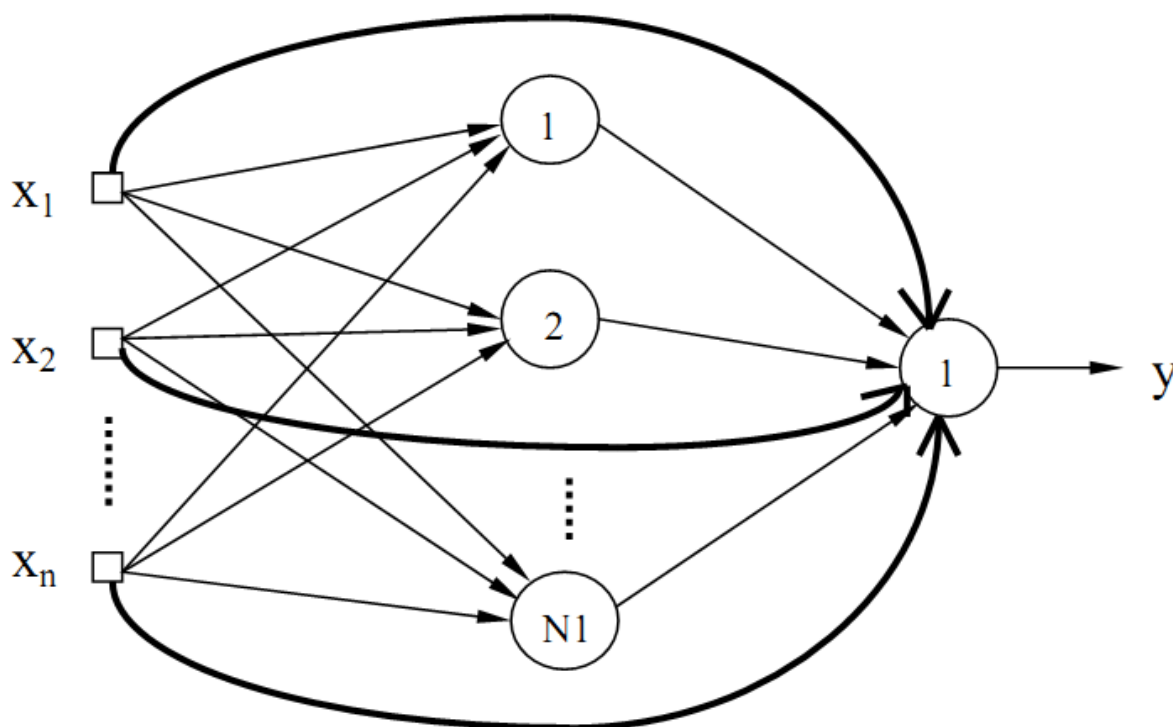
**Data de Entrega:** 07/05/2012

## Redes Neurais Artificiais

(Prof. Ivan Nunes da Silva)

### EPC-4

Visando uma aplicação específica, a equipe de engenheiros e cientistas de uma instituição projetou uma rede neural artificial do tipo perceptron multicamadas, constituída de três camadas, cuja topologia está ilustrada na figura seguinte.



As informações referentes à topologia da rede estão como se segue:

- Camada de Entrada → Constituída de “n” sinais de entrada ( $x_1, x_2, \dots, x_n$ ).
- Camada Neural Escondida → Constituída de “N1” neurônios.
- Camada Neural de Saída → Constituída de apenas 1 neurônio.
- Conjunto de Treinamento → Constituído de “p” amostras.

Demonstre de forma detalhada como será a seqüência e o ajuste das matrizes de pesos entre cada uma das camadas quando se utiliza o algoritmo de aprendizagem *Backpropagation*.



Utilize a seguinte convenção:

- Matriz  $W1 \rightarrow$  Matriz de pesos entre a 1ª e 2ª camada.
- Matriz  $W2 \rightarrow$  Matriz de pesos entre a 2ª e 3ª camada.
- Matriz  $W3 \rightarrow$  Matriz de pesos entre a 1ª e 3ª camada.

### **OBSERVAÇÕES:**

1. O EPC pode ser realizado em grupo de três pessoas. Se for o caso, entregar somente um EPC com o nome de todos integrantes.
2. As folhas contendo os resultados do EPC devem ser entregue em sequência e grampeadas (não use clips).
3. Em se tratando de EPC que contenha implementação computacional, anexe (de forma impressa) o programa fonte referente ao mesmo.

### **RESOLUÇÃO:**

A resolução desta atividade faz referência às expressões e equações apresentadas no Capítulo 5 do livro:

SILVA, I. N., SPATTI, D. H., FLAUZINO, R.A. - **“Redes Neurais Artificiais para Engenharia e Ciências Aplicadas”** - 1ª Ed. 2010 - Editora Artliber, São Paulo- SP.

Cada um dos neurônios  $\{j\}$  pertencentes a uma das camadas  $\{L\}$  da topologia mostrada na figura acima, pode ser configurado conforme a terminologia adotada na figura 5.4 (SILVA, et al), onde  $g(.)$  representa uma função de ativação.

Assim, temos:

- $W_{ji}^{(L)}$  são matrizes de pesos cujos elementos denotam o valor do peso sináptico conectando o j-ésimo neurônio da camada L ao i-ésimo neurônio da camada (L-1).
- $W_{ji}^{(L,M)}$  são matrizes de pesos cujos elementos denotam o valor do peso sináptico conectando o j-ésimo neurônio da camada L ao i-ésimo neurônio da camada M.
- $I_{ji}^{(L)}$  são vetores cujos elementos denotam a entrada ponderada do j-ésimo neurônio da camada L.



- O termos  $Y_j^{(L)}$  são vetores cujos elementos denotam a saída do j-ésimo neurônio em relação a camada L.

O passo *Forward* pode ser descrito pelas seguintes equações, análogas às expressões apresentadas (SILVA, et al). Aqui, porém, a diferença na topologia fica evidenciada pelas conexões sinápticas entre as entradas e a camada de saída, o que irá compor um elemento a mais na descrição desta camada:

$$\text{Camada (Oculta)} \quad I_j^{(1)} = \sum_{i=0}^n W_{ji}^{(1)} \cdot x_i \quad (1)$$

$$\text{Camada de Saída} \quad I_j^{(2)} = \sum_{i=0}^{n_1} W_{ji}^{(2)} \cdot Y_i^{(1)} + \sum_{i=0}^n W_{ji}^{(2,0)} \cdot x_i \quad (2)$$

$$\text{Saídas dos neurônios} \quad Y_j^{(1)} = g(I_j^{(1)}) \quad (3)$$

$$Y_j^{(2)} = g(I_j^{(2)}) \quad (4)$$

O erro quadrático, utilizado no algoritmo Backpropagation para definir o erro de aproximação que mede os desvios entre as respostas produzidas pelos neurônios da rede em relação aos respectivos valores desejados (das amostras), pode ser dado por:

$$E(k) = \frac{1}{2} \cdot \sum_{j=1}^{n_2} (d_j(k) - Y_j^{(2)})^2 \quad (5)$$

Como  $n_2 = 1$ , vem:

$$E(k) = \frac{(d_j(k) - Y_j^{(2)})^2}{2} \quad (6)$$

Assim, define-se o Erro Quadrático Médio para p amostras, por:

$$E_M = \frac{1}{p} \cdot \sum_{k=1}^p E(k) \quad (7)$$

Para o passo *Backward*, deve-se dividir o cálculo em 2 situações:



### Ajuste dos pesos da camada de saída:

A partir da utilização do gradiente e da regra de diferenciação em cadeia, apresentadas em (SILVA et al), temos:

$$\nabla E = \frac{\partial E}{\partial W_{ji}^{(2)}} = \frac{\partial E}{\partial Y_j^{(2)}} \cdot \frac{\partial Y_j^{(2)}}{\partial I_j^{(2)}} \cdot \frac{\partial I_j^{(2)}}{\partial W_{ji}^{(2)}} \quad (7)$$

onde o termo  $\frac{\partial I_j^{(2)}}{\partial W_{ji}^{(2)}}$  é dado por  $\frac{\partial I_j^{(2)}}{\partial W_{ji}^{(2)}} + \frac{\partial I_j^{(2,0)}}{\partial W_{ji}^{(2,0)}}$

$$\frac{\partial E}{\partial Y_j^{(2)}} = -(d_j - Y_j^{(2)}) \quad (8)$$

$$\frac{\partial Y_j^{(2)}}{\partial I_j^{(2)}} = g'(I_j^{(2)}) \quad (9)$$

$$\frac{\partial I_j^{(2)}}{\partial W_{ji}^{(2)}} = Y_i^{(1)} \quad (10)$$

$$\frac{\partial I_j^{(2,0)}}{\partial W_{ji}^{(2,0)}} = x_i \quad (11)$$

$$\nabla E = -(d_j - Y_j^{(2)}) \cdot g'(I_j^{(2)}) \cdot (Y_i^{(1)} + x_i) \quad (12)$$

O ajuste deve ser feito em direção oposta ao gradiente. Portanto, o ajuste deve ser definido de acordo com as expressões abaixo:

$$W_{ji}^{(2)} \leftarrow W_{ji}^{(2)} + \eta \cdot (d_j - Y_j^{(2)}) \cdot g'(I_j^{(2)}) \cdot Y_i^{(1)} \quad (13)$$

$$W_{ji}^{(2,0)} \leftarrow W_{ji}^{(2,0)} + \eta \cdot (d_j - Y_j^{(2)}) \cdot g'(I_j^{(2)}) \cdot x_i \quad (14)$$

### Ajuste dos pesos da camada oculta:

As expressões usadas são análogas às (5.29) a (5.39) de (SILVA et. al):

$$\frac{\partial E}{\partial W_{ji}^{(1)}} = - \left( \sum_{k=1}^{n_2} \delta_k^{(2)} \cdot W_{kj}^{(2)} \right) \cdot g'(I_j^{(1)}) \cdot x_i, \text{ onde} \quad (15)$$

$$\delta_k^{(2)} = (d_k - Y_k^{(2)}) \cdot g'(I_k^{(2)}) \quad (16)$$

O ajuste é dado por:

$$W_{ji}^{(1)} \leftarrow W_{ji}^{(1)} + \eta \cdot \delta_j^{(1)} \cdot x_i, \text{ onde} \quad (17)$$

$$\delta_j^{(1)} = \left( \sum_{k=1}^{n_2} \delta_k^{(2)} \cdot W_{kj}^{(2)} \right) \cdot g'(I_j^{(1)}) \quad (18)$$